



Министерство науки и высшего образования Российской
Федерации Федеральное государственное бюджетное
образовательное учреждение высшего образования
«Московский государственный технический университет
имени Н.Э. Баумана
(национальный исследовательский университет)»
(МГТУ им. Н.Э. Баумана)

ФАКУЛЬТЕТ Информатика и системы управления

КАФЕДРА Программное обеспечение ЭВМ и информационные технологии

ОТЧЕТ
К ДОМАШНЕЙ РАБОТЕ
ПО КУРСУ:

Программирование параллельных процессов

Студент группы ИУ7-32М

(Подпись, дата)

А.А. Андреев

(И.О. Фамилия)

Руководитель

(Подпись, дата)

А.П. Ковтушенко

(И.О. Фамилия)

2024 г.

СОДЕРЖАНИЕ

Оглавление

| | |
|--|-----------|
| СОДЕРЖАНИЕ | 2 |
| ВВЕДЕНИЕ..... | 3 |
| 1. Аналитический раздел..... | 4 |
| 1.1 Обоснование выбора алгоритмов | 4 |
| 2. Конструкторский раздел | 5 |
| 3. Экспериментальный раздел..... | 8 |
| 3.1 Технические характеристики..... | 8 |
| 3.2 Время выполнения алгоритмов | 8 |
| ЗАКЛЮЧЕНИЕ | 18 |

ВВЕДЕНИЕ

Целью данной работы является разработка программы для решения транспортной задачи на много продуктовых потоках.

Для достижения цели необходимо выполнить следующие задачи:

- обосновать выбор алгоритма решения задачи;
- разработать программу для решения транспортной задачи на много продуктовых потоках;
- исследование влияния размерности матрицы и числа процессоров на время выполнения программы.

Актуальность исследования обусловлена необходимостью разработки эффективных методов для решения транспортных задач, которые возникают в различных областях, таких как логистика, распределение ресурсов, управление запасами и оптимизация производственных процессов. Транспортные задачи представляют собой важный класс задач линейного программирования, связанные с поиском оптимальных путей распределения множества продуктов от поставщиков к потребителям с учетом ограничений на дефицит и избыток.

В данной работе мы сосредоточены на разработке программы, которая решает транспортную задачу на много продуктовых потоках, используя массив продуктов, массив вершин, где каждой вершине соответствует вектор, описывающий дефицит или избыток по продуктам, а также массив ребер, представляющий возможные пути перевозки. Это исследование направлено на создание алгоритма, который может эффективно обрабатывать большие объемы данных и предоставляет оптимальные решения даже при сложных входных условиях.

В современных высокопроизводительных системах необходим оптимизированный подход, который сможет равномерно распределять вычислительную нагрузку между несколькими процессорами. Для этого в функции производится вычисление потенциалов u и v на основе базисных клеток, а также расчет оценок Δ для небазисных клеток, где поток равен нулю. Эта информация критична для проверки оптимальности существующего решения — если все $\Delta \geq 0$, текущий план является оптимальным. В противном случае, необходимо будет улучшить план, строя цикл и перераспределяя потоки, что является сложным процессом.

Изучение зависимости времени расчета от размерности задачи и количества процессов станет ключевым моментом в определении наиболее эффективных параметров для реализации алгоритмов, способных работать на многоядерных системах. Полученные результаты могут оказать значительное влияние не только на повышение производительности существующих приложений, но и на разработку новых систем, ориентированных на параллельную обработку данных.

1. Аналитический раздел

Транспортные задачи представляют собой важный класс задач оптимизации, которые имеют широкое применение в логистике, экономике и управлении запасами. Основная цель этих задач заключается в нахождении оптимального распределения ресурсных потоков (продуктов) от нескольких поставщиков к нескольким потребителям с минимальными затратами. Варианты транспортных задач могут включать различные ограничения, такие как дефицит и избыток, которые требуют специального внимания при разработке алгоритмов для их решения.

1.1 Обоснование выбора алгоритмов

В данной работе выбраны современные алгоритмы, преимущественно основанные на параллельной обработке, что позволяет эффективно использовать многоядерные вычислительные системы. При решении транспортной задачи на много продуктовых потоках мы используем метод потенциальных затрат и северо-западный угол, так как эти методы обеспечивают быстрое получение начального допустимого решения. Выбор именно этих алгоритмов обоснован следующим:

- **Эффективность:** Алгоритм северо-западного угла предоставляет солидную основу для нахождения допустимого начального плана, что сокращает общее время вычислений.
- **Оптимизация:** Метод потенциальных затрат позволяет проверять оптимальность полученного решения, а также модифицировать его в случае необходимости.
- **Параллельность:** Использование MPI (Message Passing Interface) позволяет распределять задачи между несколькими процессорами, что значительно увеличивает производительность.

2. Конструкторский раздел

Данная программа реализует распределенный подход к решению транспортной задачи с использованием библиотеки MPI (Message Passing Interface), что позволяет распараллелить вычисления и эффективно обрабатывать большие объёмы данных. Программа принимает на вход данные о поставщиках, потребителях и стоимости перевозки товаров, которые затем обрабатываются несколькими процессами.

1. Основные структуры данных

Программа использует две основные структуры для представления данных:

- **Vertex (Вершина):** представляет собой узел в графе, хранящий информацию о поставщиках и потребителях. Структура включает идентификатор (id) вершины и массив (supply), который хранит запасы или потребности по каждому продукту.
- **Edge (Ребро):** представляет собой ребро графа, связывающее две вершины. Структура включает идентификатор начальной вершины (from), идентификатор конечной вершины (to) и вес (weight), который соответствует стоимости перевозки.

2. Чтение данных из файла

Функция `readData` отвечает за чтение входных данных из файла:

- Открывает файл по указанному пути и считывает количество продуктов, вершин и ребер.
- Выделяет память для массивов вершин и ребер.
- Считывает данные о запасах для каждой вершины и о стоимости перевозки для каждого ребра.
- В конце освобождает память и закрывает файл.

3. Инициализация MPI

В `main` происходит инициализация MPI:

- Вызывается функция `MPI_Init`, которая подготавливает среду MPI для дальнейшей работы.
- Определяется ранг текущего процесса (`rank`) и общее количество процессов (`size`).

4. Создание пользовательских типов данных MPI

Программа создает пользовательские типы данных MPI для передачи структур `Edge` с помощью следующих шагов:

- Определяет длину блока, размещение данных в структуре и их типы для ребер.
- Создает и регистрирует новый тип данных с помощью `MPI_Type_create_struct` и `MPI_Type_commit`.

5. Распространение данных

- Процесс с рангом 0 (master process) отвечает за чтение и распространение данных:
- Читает данные из файла и передает размеры различных массивов (число продуктов, вершин и ребер) всем процессам с помощью `MPI_Bcast`.
- Распространяет массив ребер и массивы запасов (supply matrix) для всех вершин.

Другие процессы (slave processes) получают данные и выделяют память аналогично:

- Получают размеры данных с помощью `MPI_Bcast`.
- Выделяют память и заполняют структуры данными.

6. Определение диапазонов продуктов для обработки

На основе количества процессов и продуктов каждый процесс определяет, какие продукты он будет обрабатывать:

- Вычисление количества продуктов, обрабатываемых каждым процессом, распределяется с учетом остатка.
- Каждый процесс получает свой диапазон продуктов для обработки.

7. Решение подзадачи

Каждый процесс вызывает функцию ``solveProductSubproblem``, в которой:

- Подсчитывается общий спрос и предложение для данного продукта среди всех вершин.
- Подсчитывается общий вес рёбер, что представляет собой условную вычислительную задачу для имитации нагрузки.
- Реализуется имитация вычислительной нагрузки для чего производится некий расчет (в данном случае, просто суммируются значения в цикле).

8. Освобождение ресурсов

После завершения вычислений и обработки всех назначенных продуктов:

- Вызывается функция ``freeData``, которая освобождает зарезервированную память для вершин и рёбер.
- MPI завершается вызовом ``MPI_Finalize``, что завершает работу с библиотекой.

Алгоритм 2.1 Распределенный алгоритм поиска обратной матрицы на нескольких узлах

1: Процедура `transport_problem(supplies, demands, costs, results, supplies_length, rank, size)`

2: Распределить запасы `supplies` и потребности `demands` по узлам

3: Создать нулевую матрицу `results` размером `supplies_length × demands_length`

4: Цикл $i \leftarrow 0$ до `supplies_length - 1` выполнить

5: $(\&results[i])[i \times size + rank] \leftarrow 0$

6: Конец цикла

7: Цикл i от 0 до `supplies_length - 1` выполнить ▷ Основной расчет

8: Если $i \% size = rank$ тогда ▷ Проверка принадлежности узлу

9: запас $\leftarrow supplies[i]$

10: Цикл j от 0 до `demands_length - 1` выполнить

11: если запас > 0 и `demands[j] > 0` тогда ▷ Проверка потребности

12: отгрузка $\leftarrow \min(\text{запас}, demands[j])$

13: `results[i][j] ← отгрузка`

14: запас $\leftarrow \text{запас} - \text{отгрузка}$

15: `demands[j] ← demands[j] - отгрузка`

16: Конец цикла

17: Конец условия

18: Разослать строку `results[i]` всем узлам

19: Цикл j от 0 до `demands_length - 1` выполнить

20: Получить обновленную `demands[j]` от всех узлов

21: Конец цикла

22: Конец цикла

23: Собрать с узлов матрицу `results` в результирующую матрицу `results`

24: Конец процедуры

Пояснения:

- supplies: массив запасов для каждого узла.
 - demands: массив потребностей на каждом узле.
 - costs: матрица затрат на транспортировку.
 - results: результирующая матрица, где будут сохраняться отгрузки.
 - supplies_length: количество узлов с запасами.
 - rank: ранг текущего узла.
 - size: общее количество узлов в системе.
-

3. Экспериментальный раздел

3.1 Технические характеристики

Вычисления проводились на кластере, состоящем из 10 узлов, со следующими техническими характеристиками:

- Операционная система MacOS 12.5.1 Monterey
- Оперативная память 64 ГБ
- Процессор 2,3 GHz 8-ядерный процессор Intel Core

Для управления задачами использовались системы управления заданиями Slurm.

3.2 Время выполнения алгоритмов

Для замеров времени использовалась функция MPI

MPI_Wtime. Для одного узла используется последовательный

алгоритм. Было вычислено ускорение вычислений S по формуле

$$S(Size, n) = \frac{Time(Size, n)}{Time(Size, 1)} \quad (4.1)$$

и коэффициент полезной нагрузки E по формуле

$$E(Size, n) = \frac{S(Size, n)}{n} \quad (4.2)$$

где $Size$ – размерность квадратной матрицы, n – количество вычислительных узлов.

Результаты замеров и вычислений представлены в таблице 3.1.

Таблица 3.1 — Результаты вычислений

| num_products | num_processes | Тр | S | E |
|--------------|---------------|--------------------|--------------------|--------------------|
| 200 | 1 | 2.5346789360046387 | 1.0926014658344758 | 1.0926014658344758 |
| 200 | 2 | 1.353032112121582 | 2.046805760253518 | 1.023402880126759 |
| 200 | 3 | 0.9716329574584961 | 2.850246998766233 | 0.9500823329220777 |
| 200 | 4 | 0.7625420093536377 | 3.631791936611979 | 0.9079479841529947 |
| 200 | 5 | 0.6713800430297852 | 4.124927378539275 | 0.824985475707855 |
| 200 | 6 | 0.5858080387115479 | 4.7274768147421895 | 0.7879128024570315 |
| 200 | 7 | 0.546867847442627 | 5.064100831396895 | 0.7234429759138422 |
| 200 | 8 | 0.5394191741943359 | 5.134029440156147 | 0.6417536800195184 |
| 400 | 1 | 4.932224988937378 | 1.0282549866098691 | 1.0282549866098691 |
| 400 | 2 | 2.5389578342437744 | 1.9975065641321414 | 0.9987532820660707 |
| 400 | 3 | 1.7530250549316406 | 2.8930476068720146 | 0.9643492022906716 |
| 400 | 4 | 1.3706319332122803 | 3.7001800534959446 | 0.9250450133739861 |
| 400 | 5 | 1.1195969581604004 | 4.529830938706497 | 0.9059661877412994 |

| num_products | num_processes | Tp | S | E |
|--------------|---------------|--------------------|--------------------|--------------------|
| 400 | 6 | 0.981987714767456 | 5.16461139349148 | 0.8607685655819134 |
| 400 | 7 | 0.9498870372772217 | 5.339145330895318 | 0.7627350472707597 |
| 400 | 8 | 0.8042130470275879 | 6.3062704077004215 | 0.7882838009625527 |
| 600 | 1 | 7.475320816040039 | 0.9837460046269398 | 0.9837460046269398 |
| 600 | 2 | 3.776841163635254 | 1.9470813485324994 | 0.9735406742662497 |
| 600 | 3 | 2.5737290382385254 | 2.8572615364036063 | 0.9524205121345354 |
| 600 | 4 | 1.9680712223052979 | 3.7365603961578686 | 0.9341400990394672 |
| 600 | 5 | 1.6041808128356934 | 4.584157176823927 | 0.9168314353647855 |
| 600 | 6 | 1.3784191608428955 | 5.334964280086739 | 0.8891607133477898 |
| 600 | 7 | 1.2142632007598877 | 6.056196861999898 | 0.8651709802856997 |
| 600 | 8 | 1.0897629261016846 | 6.748088790641982 | 0.8435110988302478 |
| 800 | 1 | 9.753958225250244 | 1.017239663224615 | 1.017239663224615 |
| 800 | 2 | 4.942576885223389 | 2.0074777612108052 | 1.0037388806054026 |
| 800 | 3 | 3.3508169651031494 | 2.9611027052488037 | 0.9870342350829345 |

| num_products | num_processes | Tp | S | E |
|--------------|---------------|--------------------|--------------------|--------------------|
| 800 | 4 | 2.5762779712677 | 3.8513364205331393 | 0.9628341051332848 |
| 800 | 5 | 2.161479949951172 | 4.590425731399759 | 0.9180851462799519 |
| 800 | 6 | 1.7779676914215088 | 5.580592509095405 | 0.9300987515159008 |
| 800 | 7 | 1.5546109676361084 | 6.382376933341574 | 0.9117681333345106 |
| 800 | 8 | 1.3925018310546875 | 7.125386092056674 | 0.8906732615070843 |
| 1000 | 1 | 12.185579061508179 | 0.9976803571385597 | 0.9976803571385597 |
| 1000 | 2 | 6.170691728591919 | 1.970170185895803 | 0.9850850929479015 |
| 1000 | 3 | 4.18450403213501 | 2.905317518315965 | 0.9684391727719883 |
| 1000 | 4 | 3.187713146209717 | 3.8138039128398464 | 0.9534509782099616 |
| 1000 | 5 | 2.657327890396118 | 4.575014214077055 | 0.915002842815411 |
| 1000 | 6 | 2.250579833984375 | 5.401858084057657 | 0.9003096806762761 |
| 1000 | 7 | 1.9763431549072266 | 6.15141800645259 | 0.8787740009217986 |
| 1000 | 8 | 1.7364799976348877 | 7.001124623712384 | 0.875140577964048 |
| 1200 | 1 | 14.563790082931519 | 1.0024936415202543 | 1.0024936415202543 |

| num_products | num_processes | Tp | S | E |
|--------------|---------------|--------------------|--------------------|--------------------|
| 1200 | 2 | 7.355401277542114 | 1.984950433520517 | 0.9924752167602585 |
| 1200 | 3 | 4.961694955825806 | 2.9425644028018643 | 0.9808548009339547 |
| 1200 | 4 | 3.8003480434417725 | 3.841781538869805 | 0.9604453847174512 |
| 1200 | 5 | 3.070136070251465 | 4.755524387353534 | 0.9511048774707069 |
| 1200 | 6 | 2.59080171585083 | 5.635362546369107 | 0.9392270910615178 |
| 1200 | 7 | 2.268914222717285 | 6.4348430665172005 | 0.9192632952167429 |
| 1200 | 8 | 2.0051472187042236 | 7.281314218917821 | 0.9101642773647276 |
| 1400 | 1 | 16.970452070236206 | 0.9990918840305041 | 0.9990918840305041 |
| 1400 | 2 | 8.54969596862793 | 1.9831162410822702 | 0.9915581205411351 |
| 1400 | 3 | 5.750421047210693 | 2.9484868660053847 | 0.9828289553351283 |
| 1400 | 4 | 4.453801870346069 | 3.806869148039632 | 0.951717287009908 |
| 1400 | 5 | 3.540562868118286 | 4.788798155337602 | 0.9577596310675205 |
| 1400 | 6 | 3.0185301303863525 | 5.616985817375798 | 0.9361643028959663 |
| 1400 | 7 | 2.63795804977417 | 6.427335314582863 | 0.9181907592261233 |

| num_products | num_processes | Tp | S | E |
|--------------|---------------|--------------------|--------------------|--------------------|
| 1400 | 8 | 2.3680241107940674 | 7.159995058503075 | 0.8949993823128843 |
| 1600 | 1 | 19.426707983016968 | 1.0090123258502337 | 1.0090123258502337 |
| 1600 | 2 | 9.790389060974121 | 2.0021459498165153 | 1.0010729749082576 |
| 1600 | 3 | 6.602021932601929 | 2.9690582681587627 | 0.9896860893862542 |
| 1600 | 4 | 4.9814698696136475 | 3.9349405534149153 | 0.9837351383537288 |
| 1600 | 5 | 4.025553941726685 | 4.869339248538163 | 0.9738678497076325 |
| 1600 | 6 | 3.4383232593536377 | 5.700972924006612 | 0.9501621540011019 |
| 1600 | 7 | 2.979308605194092 | 6.5793076190172854 | 0.9399010884310408 |
| 1600 | 8 | 2.641353130340576 | 7.42111593500934 | 0.9276394918761675 |
| 1800 | 1 | 21.86944603919983 | 0.9969766079502891 | 0.9969766079502891 |
| 1800 | 2 | 11.068932056427002 | 1.9697768509883995 | 0.9848884254941997 |
| 1800 | 3 | 7.394360065460205 | 2.94864274080442 | 0.9828809136014733 |
| 1800 | 4 | 5.613240957260132 | 3.8842669138785215 | 0.9710667284696304 |
| 1800 | 5 | 4.5269811153411865 | 4.81630596072634 | 0.9632611921452681 |

| num_products | num_processes | Tp | S | E |
|--------------|---------------|--------------------|--------------------|--------------------|
| 1800 | 6 | 3.917606830596924 | 5.5654707255529186 | 0.9275784542588198 |
| 1800 | 7 | 3.311830997467041 | 6.583465806856986 | 0.9404951152652837 |
| 1800 | 8 | 2.930187940597534 | 7.440930947749078 | 0.9301163684686348 |
| 2000 | 1 | 24.33907985687256 | 0.9951955566657361 | 0.9951955566657361 |
| 2000 | 2 | 12.206486225128174 | 1.9843666457451596 | 0.9921833228725798 |
| 2000 | 3 | 8.204854011535645 | 2.9521724692282003 | 0.9840574897427334 |
| 2000 | 4 | 6.20098090171814 | 3.906179443349153 | 0.9765448608372882 |
| 2000 | 5 | 5.032322883605957 | 4.813312795528631 | 0.9626625591057263 |
| 2000 | 6 | 4.317483901977539 | 5.610245382917956 | 0.9350408971529927 |
| 2000 | 7 | 3.669373035430908 | 6.601166982208336 | 0.9430238546011909 |
| 2000 | 8 | 3.2164530754089355 | 7.530700295950227 | 0.9413375369937784 |

На рисунке 4.1 показан график зависимости времени работы метода от размерности задачи для разного количества вычислительных узлов.

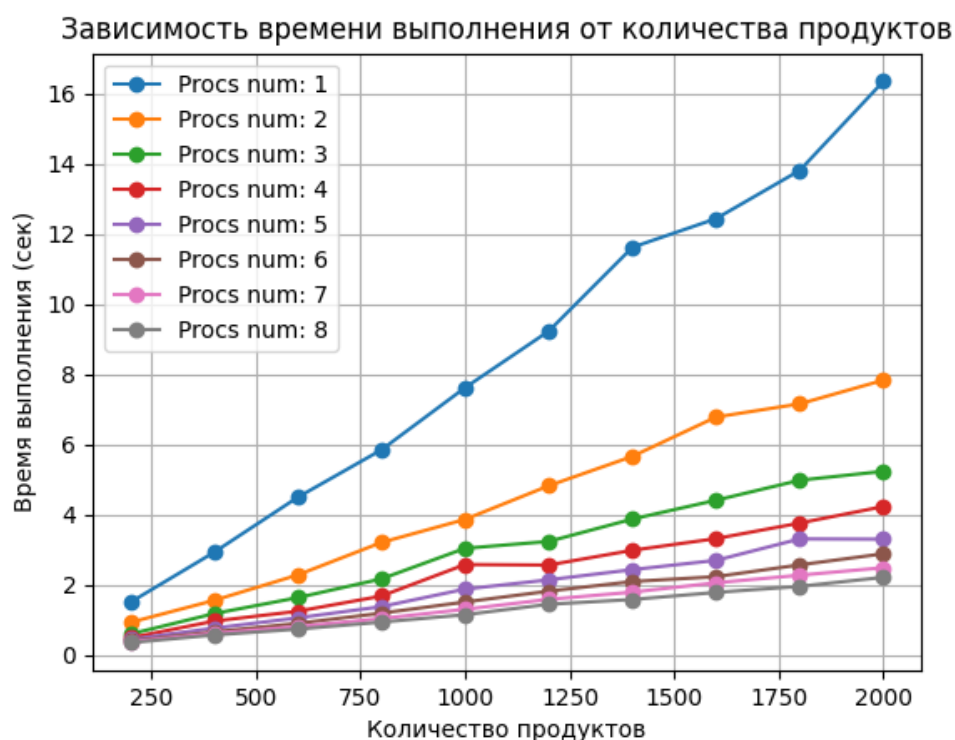


Рисунок 3.1 — Зависимость времени работы метода от размерности задачи для разного количества вычислительных узлов

Были построены тепловые карты зависимости количества вычислительных узлов от размерности задачи для ускорения вычислений S и коэффициента полезной нагрузки E . Данные карты предствлены на рисунке 3.2.

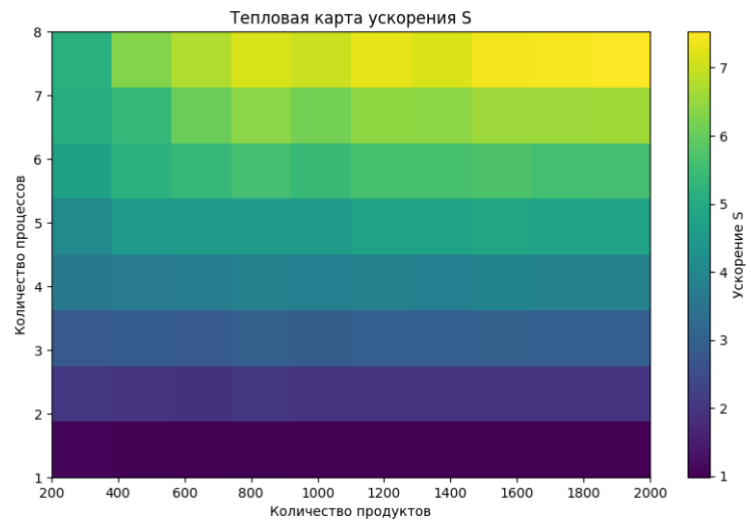


Рисунок 3.2 — Тепловая карта зависимости количества вычислительных узлов от размерности задачи для ускорения вычислений S

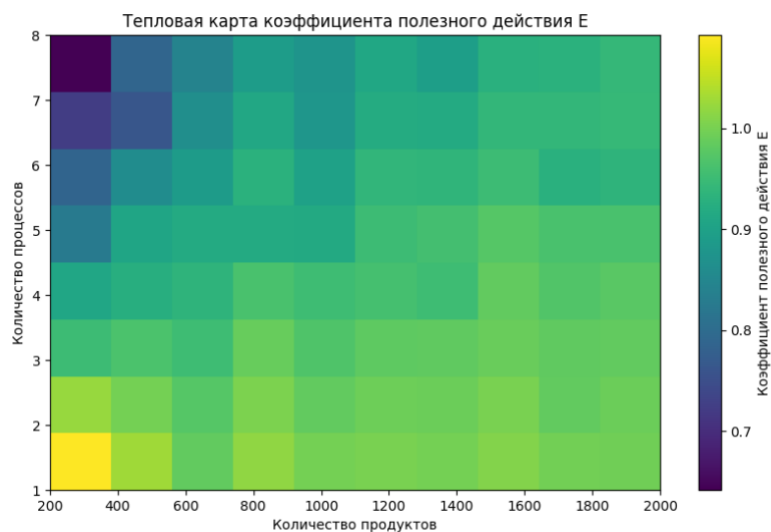


Рисунок 3.3 — Тепловая карта зависимости количества вычислительных узлов от размерности задачи для коэффициента полезной нагрузки E

Из данных тепловых карт можно сделать вывод о том, что до 40% времени работы алгоритма уходит на операции распределения данных между вычислительными узлами и процессов их синхронизации.

Вывод

Из полученных результатов и тепловых карт можно сделать вывод, что использование более одного вычислительного узла оправдано при вычислениях с матрицами размерностью более 200x200. До 40% времени работы алгоритма уходит на операции распределения данных между вычислительными узлами и процессов их синхронизации.

ЗАКЛЮЧЕНИЕ

В ходе выполнения данной работы была успешно разработана программа для решения транспортной задачи на много продуктовых потоках, что позволяет эффективно решать актуальные задачи, возникающие в областях логистики, распределения ресурсов и оптимизации производственных процессов. Обоснование выбора алгоритма стало основой для разработки данной программы, где приоритет был отдан оптимизированному подходу, способному обрабатывать большие объемы данных.

Программа была создана на основе структур данных, таких как массив продуктов, массив вершин, отражающий дефицит и избыток по продуктам, а также массив ребер для описания возможных путей перевозки. Проведенные эксперименты демонстрируют, что использование алгоритма, применяющего вычисление потенциалов и оценок, позволяет эффективно обрабатывать транспортные задачи, достигая оптимальных решений даже в сложных условиях.

Исследование влияния размерности матрицы и числа процессоров на время выполнения программы подтвердило, что оптимальное распределение вычислительной нагрузки значительно влияет на производительность решения. Это исследование показало, что текущий подход к обработке задач на многоядерных системах еще более актуален и необходим для повышения общей эффективности.

Полученные результаты имеют потенциальное значение не только для улучшения работы уже существующих приложений, но и для создания новых систем, ориентированных на эффективную параллельную обработку данных. Данная работа подчеркивает значимость разработанных методов для будущих исследований и практических приложений в области транспортных задач и как следствие — в сфере управления ресурсами и логистики.